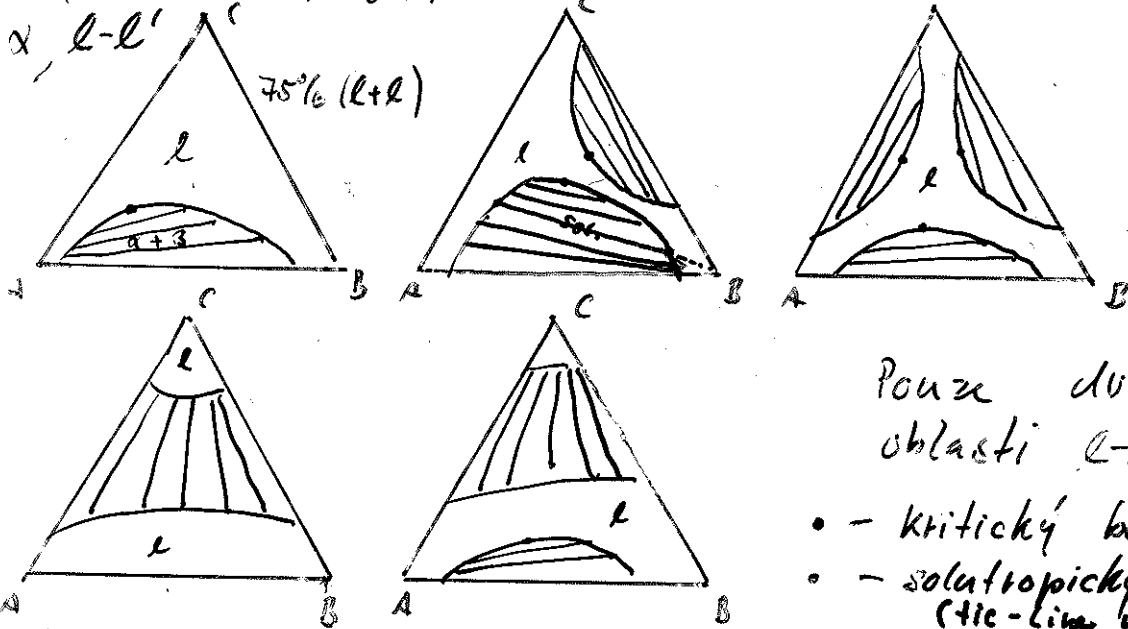


Terhátní a více složkové soustavy

základní typy isobaricko-isokoncentrických řezů tern. soust.
^{termických}

$T, p = \text{fix} \Rightarrow b_{\text{max}} = 3$ (v koexistenci)

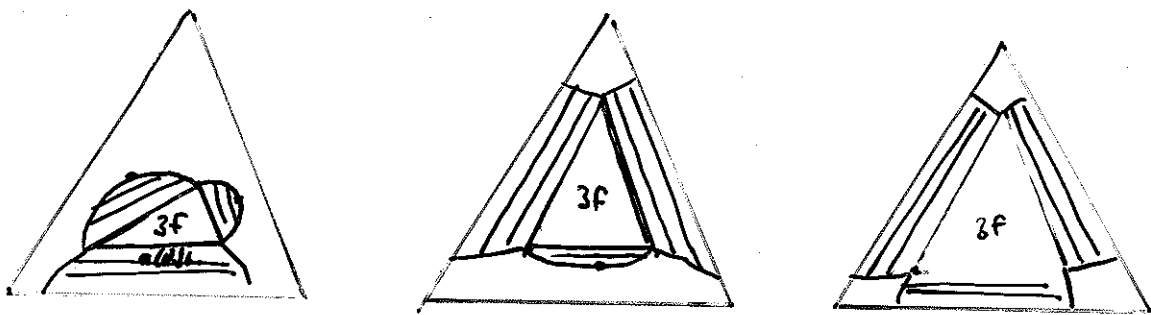
$s=3$



Pouze dvoufázové oblasti $l-l'$

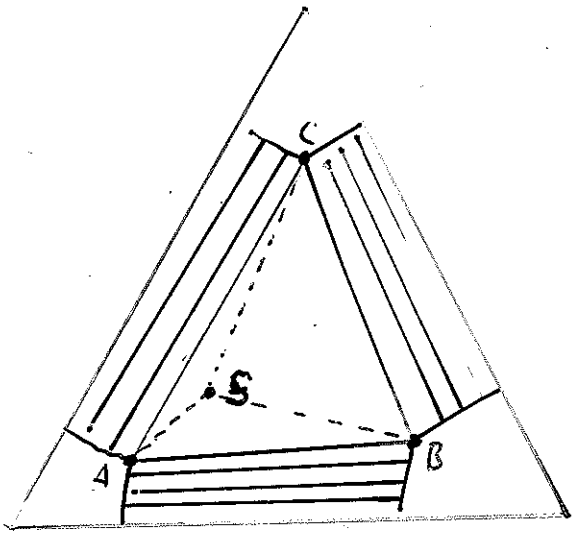
- kritický bod ($l \equiv l'$)
- solutropický bod ~~střetnutí~~ (tie-line míří do úhly)
- alyotropický bod ~~střetnutí~~ tie = \emptyset

3, překryv dvoufázových oblasti \Rightarrow 3fázová oblast

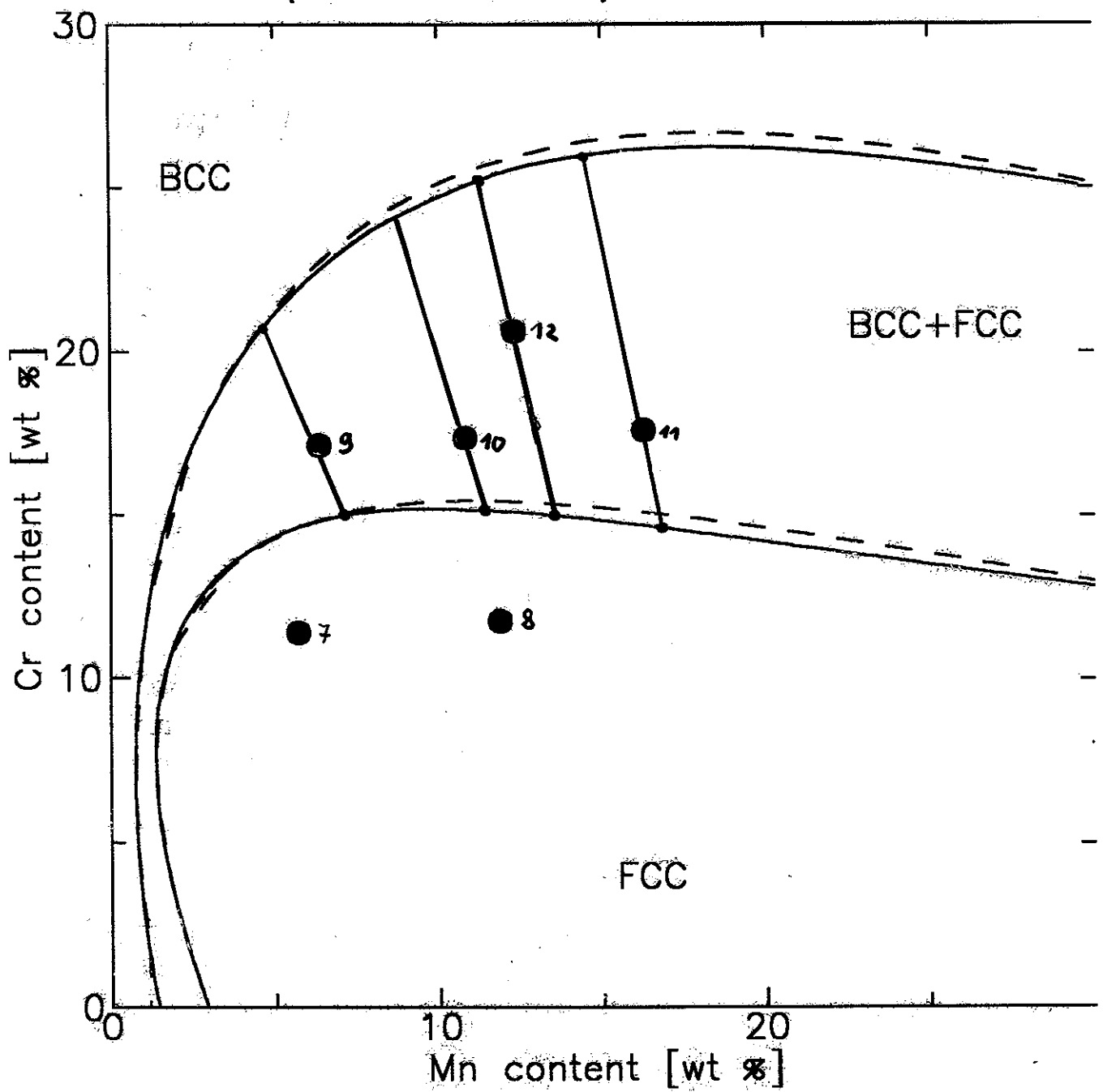


geometrický důsledek zákona zach. hm. v 3f soustavě

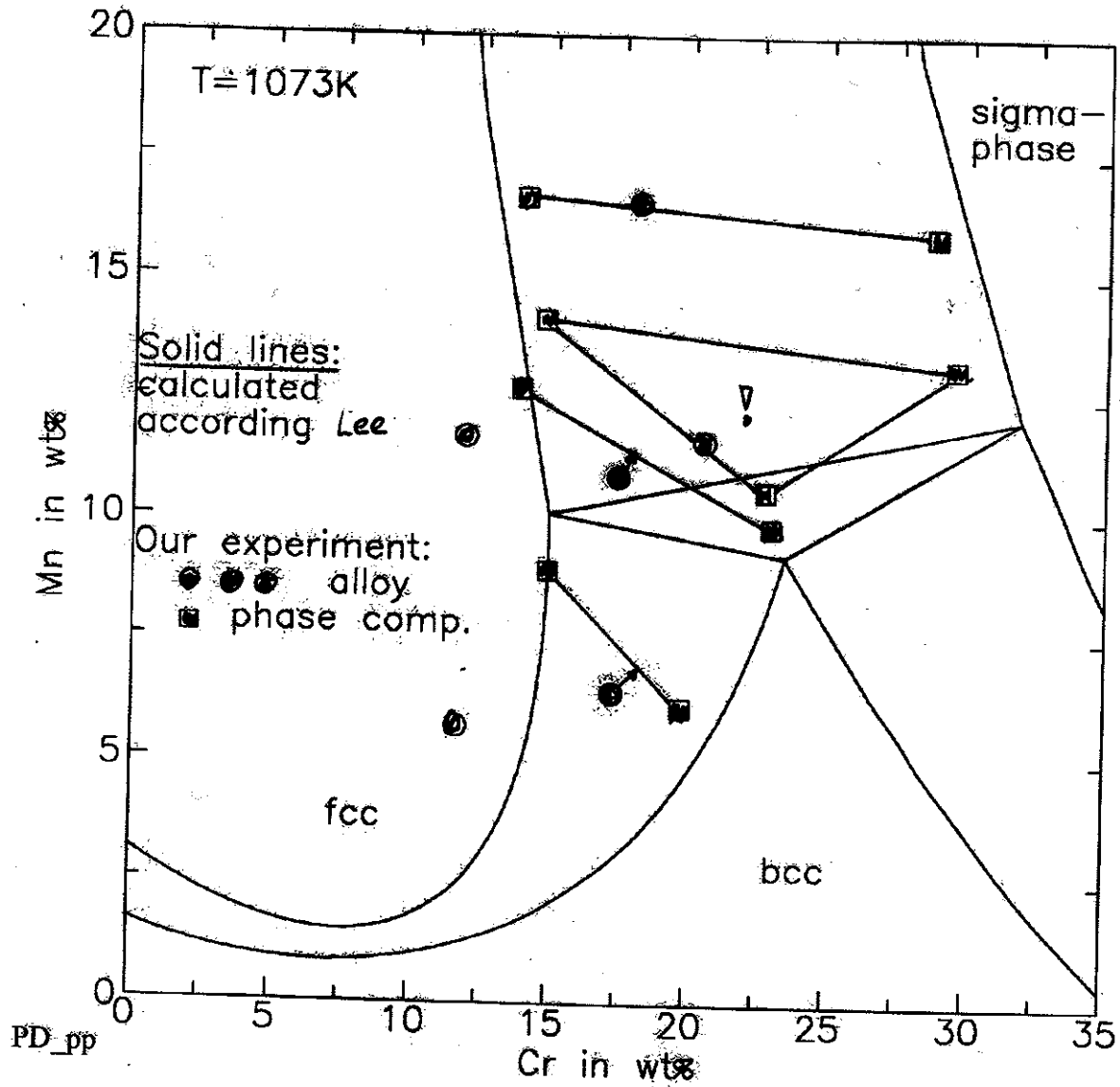
$$n_A = \frac{P(\triangle SBC)}{P(\triangle ABC)} \quad \text{a pod. pro } p_B, p_C$$



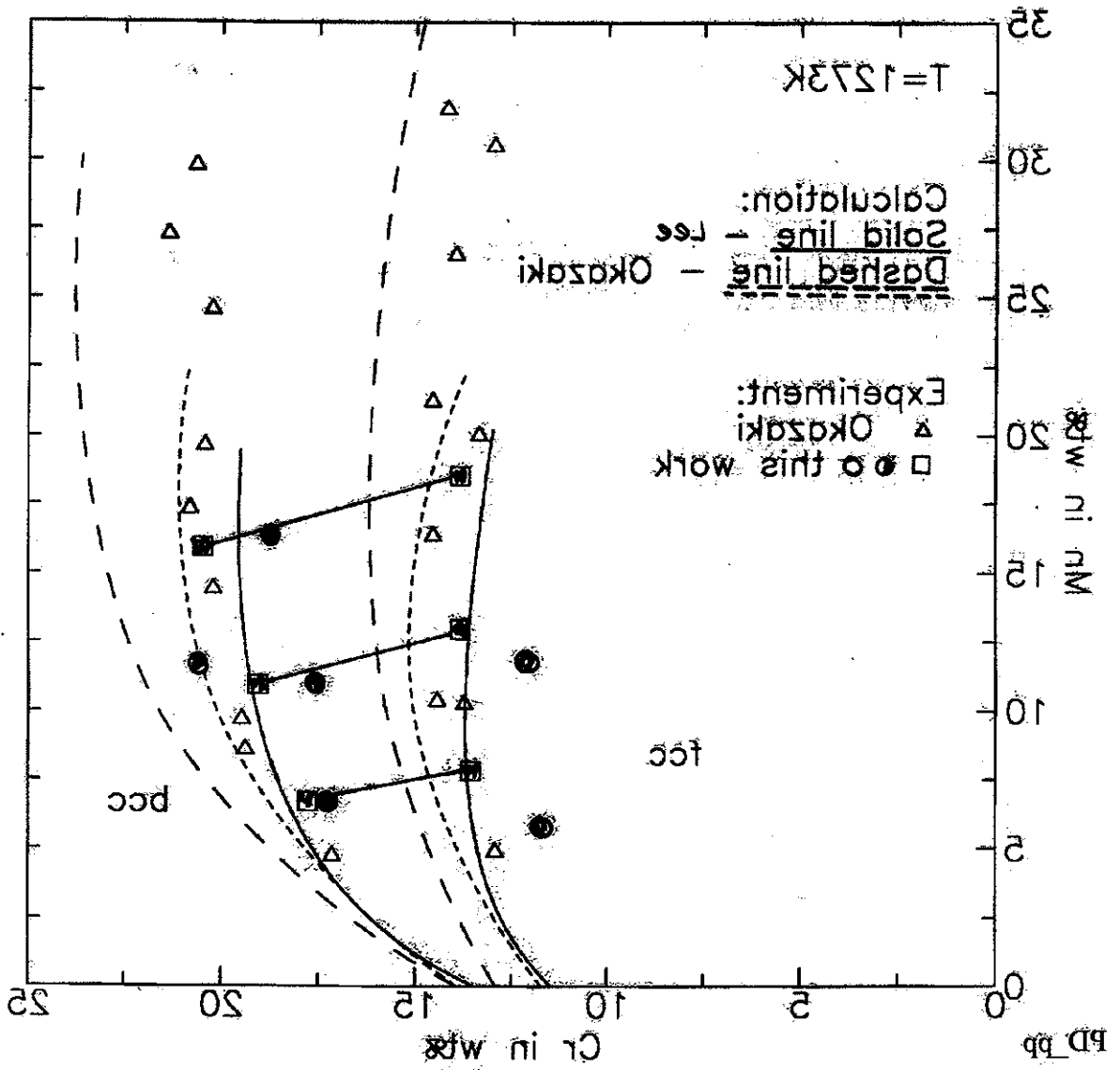
System: Fe-Cr-Mn
(isothermal cross-section at 1073K)
(iron rich corner)



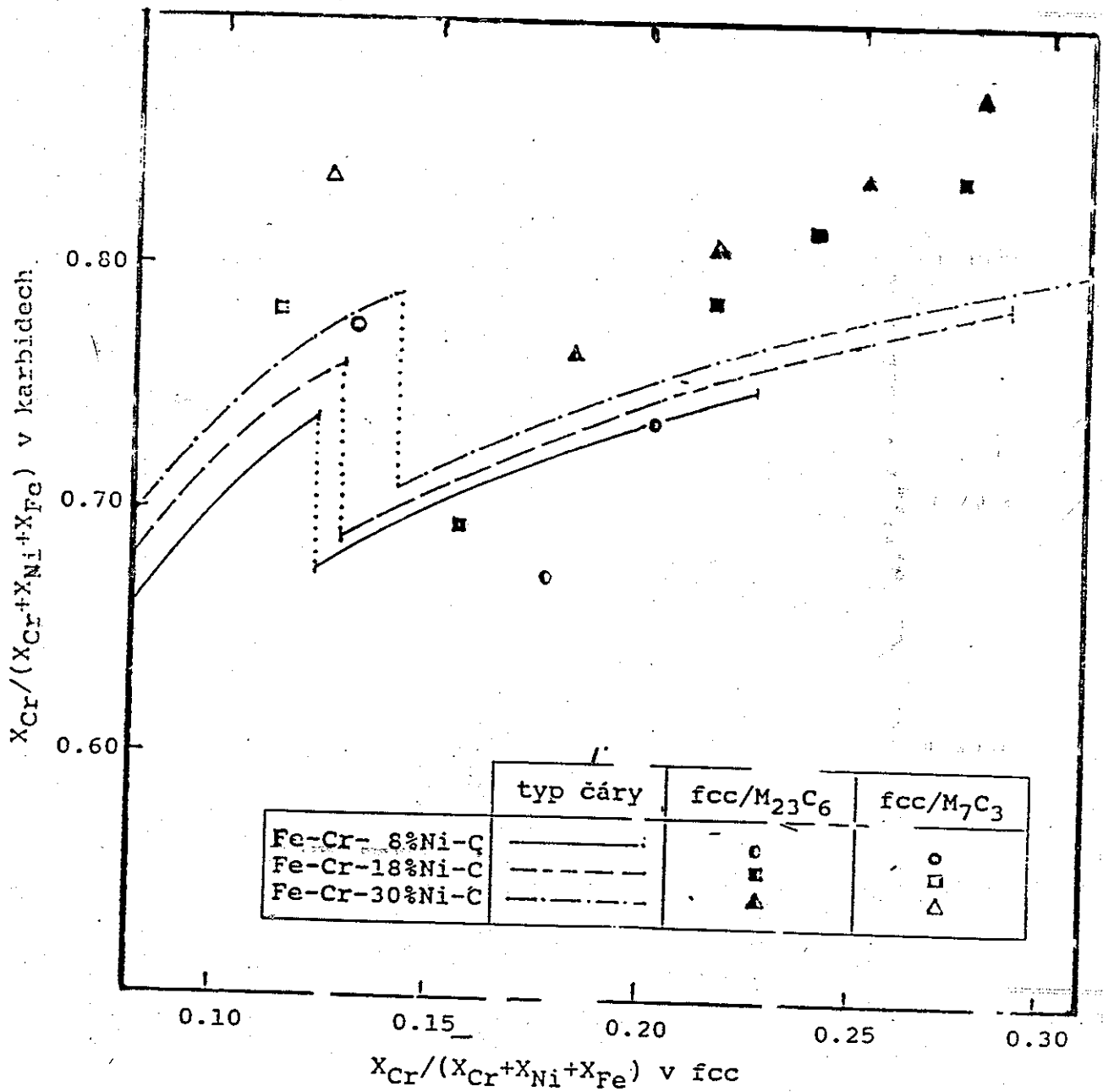
Isothermal cross-section of the Fe-Cr-Mn phase diagram at 1073K



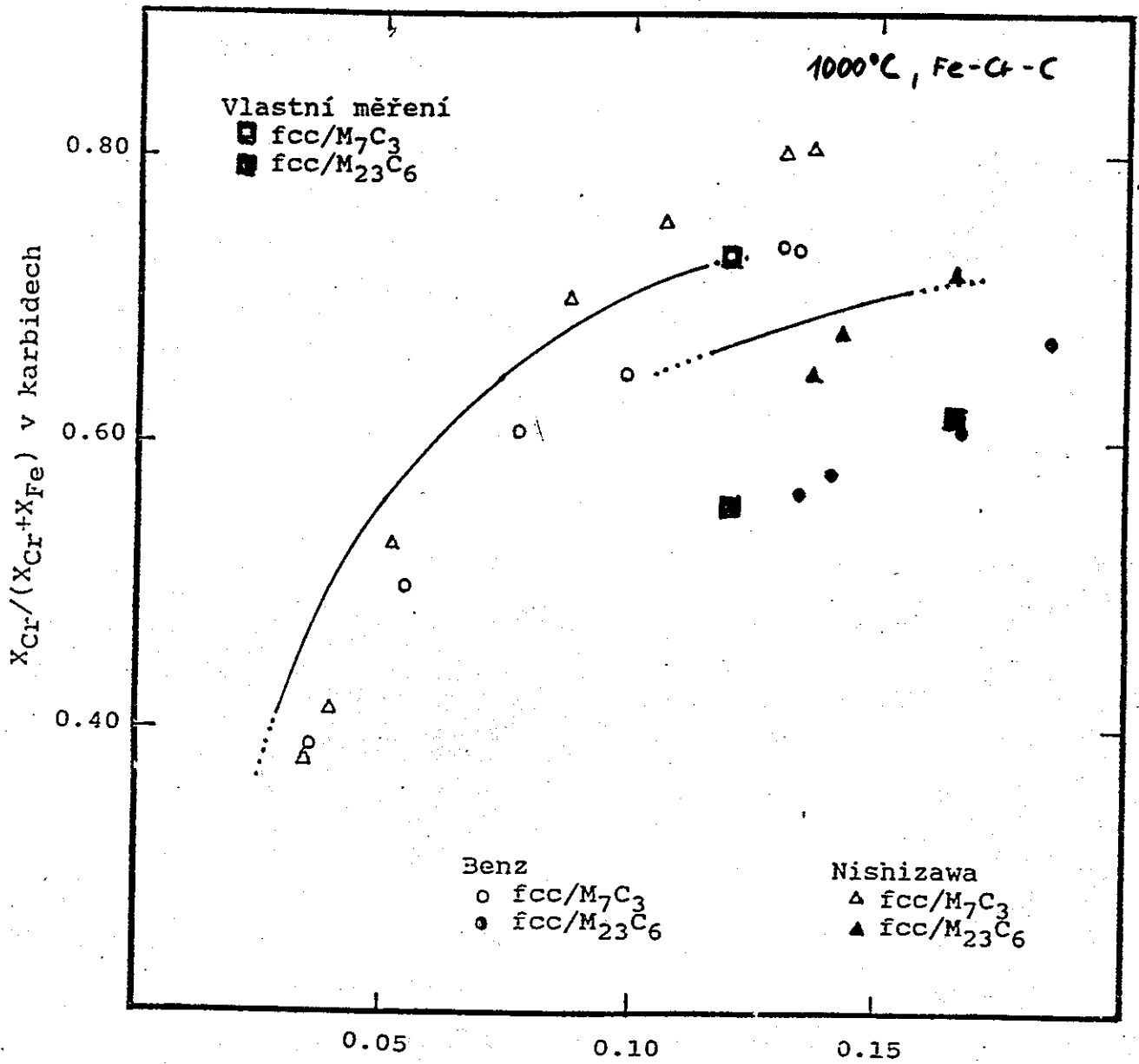
Isothermal cross-section of the Fe-Cr-Mn phase diagram
at 1273K



Obz.7: Rovnovážné rozdělení chromu v soustavě Fe-Cr-Ni-C za teploty 1000°C mezi fází fcc a karbidem $M_{23}C_6$ resp. karbidem M_7C_3 získané teoretickým výpočtem ve srovnání s hodnotami získanými experimentálně.



Obr.5: Rovnovážné rozdělení chromu v soustavě Fe-Cr-C za teploty 1000°C mezi fází fcc a karbid $M_{23}C_6$ resp. karbid M_7C_3 získané teoretickým výpočtem ve srovnání s hodnotami získanými experimentálně.



molární podíl chromu vztažený na obsah kovových složek ve fázi fcc

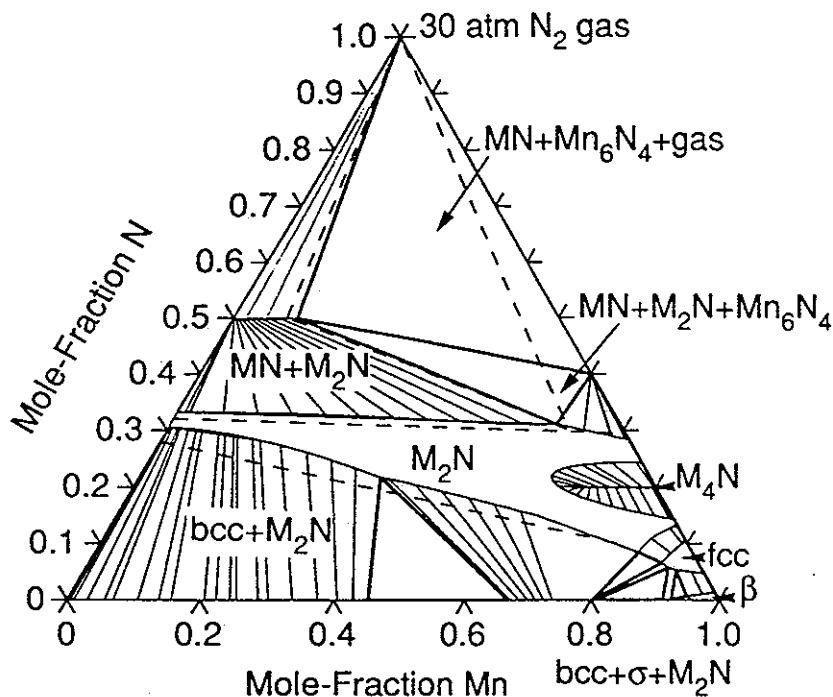


FIG.11

The calculated isothermal section at 1073K through the Cr-Mn-N phase diagram, showing equilibria with 30 atm N_2 gas. The full lines show the calculations, and the dashed lines have been redrawn from the experimental study by Ettmayer et al. ⁽⁴⁾. The Mn_6N_4 phase is stable in the calculated phase diagram, but it was not found experimentally.

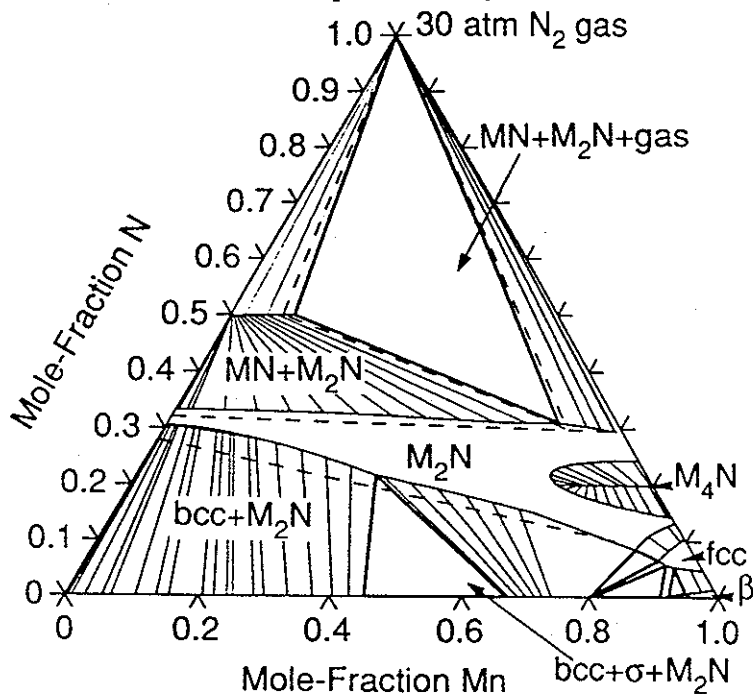
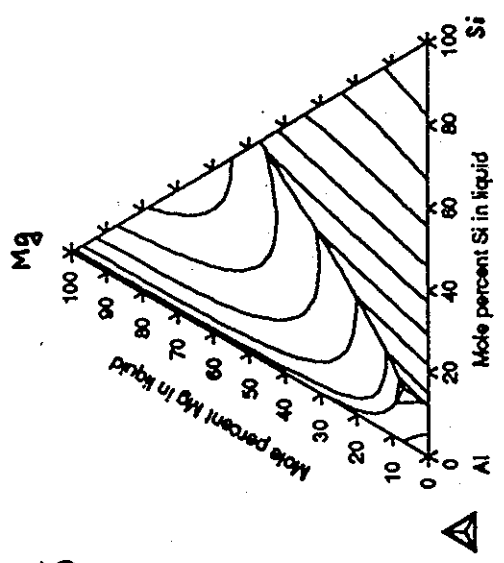


FIG.12

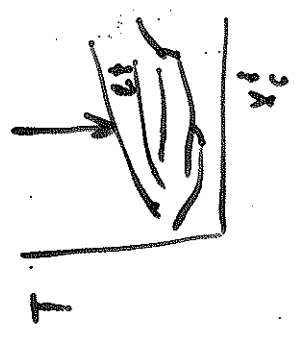
The calculated isothermal section at 1073K through the Cr-Mn-N phase diagram, showing equilibria with 30 atm N_2 gas. The full lines show the calculations, and the dashed lines have been redrawn from the experimental study by Ettmayer et al. ⁽⁴⁾. The Mn_6N_4 and the Mn_6N_5 phases were suspended from the calculation.

THERMO-CALC, DEMO

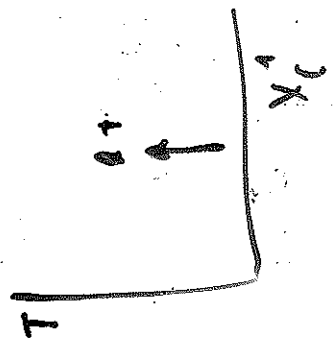
6



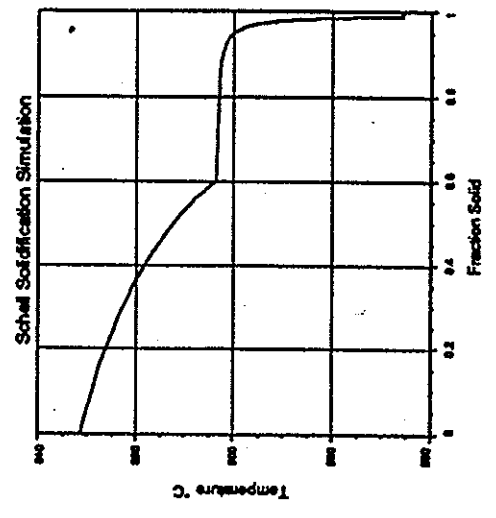
Plocha likvidna:



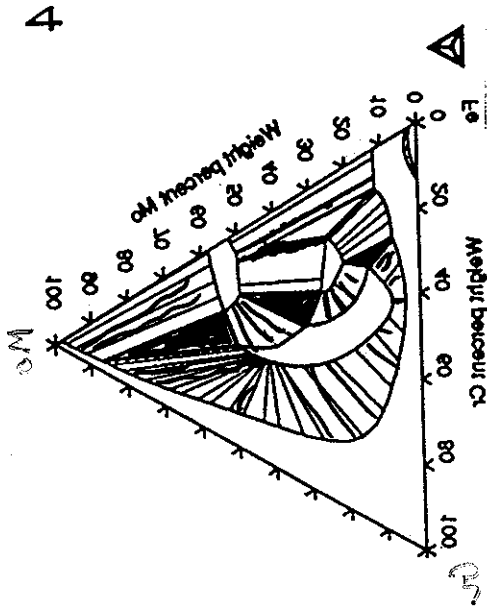
Plocha solida



12

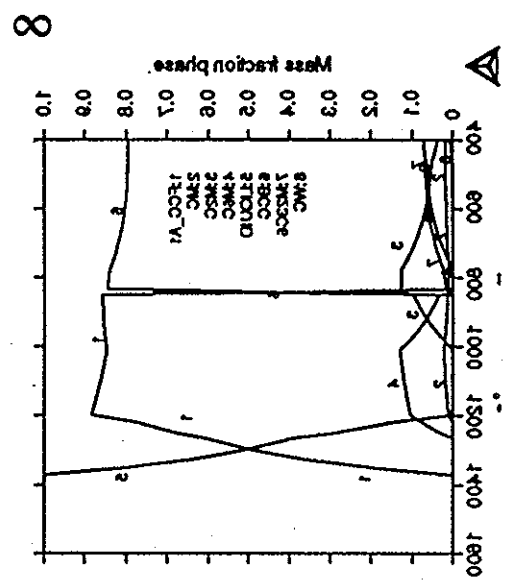
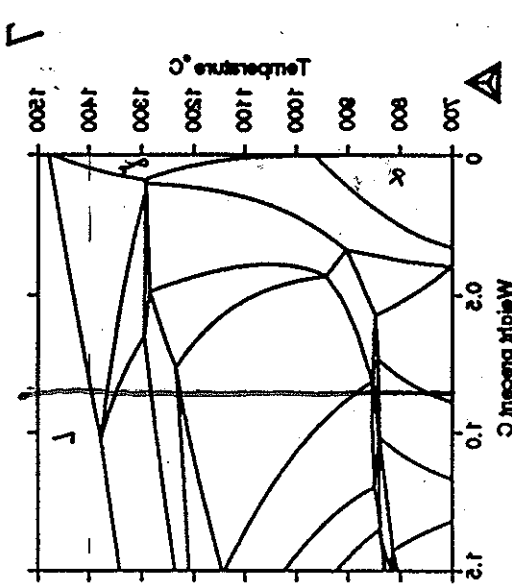


HERMO - CALC DEMO



T=1000°C

8.0



MHS - 21556 : $(x_1, x_2, x_3) = (Mn, Cr, Fe)$ = const.

0.8 wt% Cr

Handwritten signature or initials.